

立体骨組構造の弾塑性解折

早稲田大学理工学部 教授 堀井 健一郎

○ 早稲田大学 大学院 川原陸人

1. 緒言

骨組構造の弾塑性解折において、R. Hill, W. Prager, P. G. Hodge, Jr., D. C. Drucker などにより、いわゆる，Plastic Hinge Theory が体系づけられている。これは、周知の通り、構造を構成する材料を、完全弾塑性体であるとして、部材内で、降伏応力を越えたある点が、変形に抵抗し得ないヒンジを形成するものと考える理論であり、弾性解を順次つみ重ねてゆくことにより、解を追跡することが出来、¹⁾ きわめて単純明解な理論構成がなされている。

²⁾ 上田らは、塑性流れ理論にもとづく、塑性ヒンジ機構を考え、これにより降伏相關関係を考慮した立体骨組構造の解折法を提案している。これによれば、比例荷重のみでなく、変動荷重をも扱うことが出来る。

一方有限要素法により、平面問題（もちろん、3次元問題を含むが、元数が加速度的に多くなり、あまり、実用にはなつていよいようである。）の弾塑性解析は、山田・吉村・桜井、J. P. King ³⁾, O. C. Zienkiewicz, S. Valliappan⁴⁾, G. G. Poppe⁵⁾ などにより、行なわれている。平面問題では、三角形要素が一般に用いられており、これがもつとも有効であるが、この場合には、三角形要素内において、歪が一定であると考えることが出来るため、各要素ごとに、降伏したか否かを明確に判別することが出来る。又、J. F. Besseling⁶⁾ は同様にしてクリープの問題も解決出来ることを指摘している。

塑性領域の発達を考慮に入れた、骨組構造の弾塑性解折は、山田⁷⁾、山崎・石川・大田⁸⁾⁹⁾ などにより行なわれているが、山田は平面構造に限つて、又山崎らは、補正エネルギー法を用いて立体骨組構造を扱つているが、塑性流れ理論は用いていない。

ここでは、材料の応力と歪との関係が、塑性流れ理論により与えられるものとし、有限要素法の手法を用いることにより、弾性時に与えられる stiffness matrix を修正して解を求める方法を提案する。P. V. Marcai¹⁰⁾ は塑性流れ理論により、有限変形の場合に対して、荷重増加法により、shell の解折を行つており、有効な結果を得ているが、各要素ごとに、降伏が起るものとしており、各要素内での塑性領域の発達が加味されていない。そこで、ここでは、各分割した部材を、さらに細く分割し、その細分割区間内においては応力が一定であると考え、塑性流れ理論を適用することにする。このようにすれば、最終的な連立方程式の元数を増加させることなく、より誤差の少い解式を得ることが出来、塑性ヒンジの発達を追跡することが出来る。

2. 応力と歪の関係

一般に用いられているごとく、応力一歪関係は、Mises の降伏条件に従う、塑性流れ理論によ

るものとする。ここでは、曲げにともなう前断応力の影響は無視し得るものとし、座標系をFig-1の如くに定めて、歪は弾性歪及び塑性歪より構成されるものとする。

$$\begin{pmatrix} d\epsilon_z \\ dz_{zx} \\ dz_{zy} \\ 0 \end{pmatrix} = \begin{pmatrix} \frac{1}{E} & & -\frac{2}{3}\sigma_z & \\ & \frac{1}{G} & 2z_{zx} & \\ & & \frac{1}{G} & 2z_{zy} \\ -\frac{2}{3}\sigma_z & 2z_{zx} & 2z_{zy} & -\frac{4}{9}\bar{\sigma}^2 H' \end{pmatrix} \begin{pmatrix} d\bar{\epsilon}_z \\ dz_{zx} \\ dz_{zy} \\ d\lambda \end{pmatrix} \quad \dots \dots \dots \quad (1)$$

塑性領域では (1) 式が成立するものとする。逆に解けば

$$\begin{pmatrix} d\bar{\epsilon}_z \\ dz_{zx} \\ dz_{zy} \\ 0 \end{pmatrix} = \begin{pmatrix} E & -\frac{2}{3}E\sigma_z & \\ G & -2Gz_{zx} & \\ G & -2Gz_{zy} & \\ -\frac{2}{3}E\sigma_z - 2Gz_{zx} - 2Gz_{zy} & A \end{pmatrix} \begin{pmatrix} d\epsilon_z \\ d\delta_{zx} \\ d\delta_{zy} \\ d\lambda \end{pmatrix} \quad \dots \dots \dots \quad (2)$$

$$A = \frac{4E}{9}\sigma_z^2 + 4Gz_{zx}^2 + 4Gz_{zy}^2 + \frac{4}{9}\bar{\sigma}^2 H'$$

$$\bar{\sigma}^2 = \sigma_z^2 + 3(z_{zx}^2 + z_{zy}^2), \quad H' = \frac{d\bar{\sigma}}{d\epsilon} \text{ (変形硬化係数)}$$

一方円形断面を対象とする場合 (2) 式はより簡単に

$$\begin{pmatrix} d\sigma \\ dZ \\ 0 \end{pmatrix} = \begin{pmatrix} E & -\frac{2}{3}EO \\ G & -2GZ \\ -\frac{2}{3}EO - 2GZ & A \end{pmatrix} \begin{pmatrix} d\epsilon \\ d\delta \\ d\lambda \end{pmatrix} \quad \dots \dots \dots \quad (3)$$

$$A = \frac{4E}{9}\sigma^2 + 4GZ^2 + \frac{4}{9}\bar{\sigma}^2 H'$$

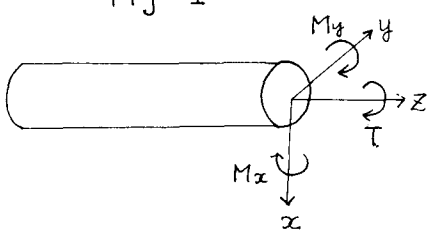
$$\bar{\sigma}^2 = \sigma^2 + 3Z^2, \quad \sigma = \bar{\epsilon}_z, \quad Z = \sqrt{z_{zx}^2 + z_{zy}^2}, \quad \epsilon = \epsilon_z, \quad \delta = \sqrt{\delta_{zx}^2 + \delta_{zy}^2}$$

で与えられるものとする。

3. 剛性行列の誘導 (円形断面の場合)

簡単のため、円形断面をもつ直線材の場合について述べることにする。断面内においては、軸力 N 、曲げモーメント M_x, M_y による直応力 σ_z 、ねじりモーメント T による断面の図心からの距離 r にて比例するせん断応力のみが作用するものと考えることが出来るから、(3)式を応力と歪との関係として用いることとする。

Fig-1



軸方向歪 $d\varepsilon_n$ 、曲率の変化 $d\chi_x$ 、 $d\chi_y$ 、ねじり角の変化 $d\varphi$ 、により $d\varepsilon$ 、 $d\alpha$ は、それぞれ、次のように表わすことが出来る。

$$\begin{pmatrix} d\epsilon \\ d\sigma \end{pmatrix} = \begin{pmatrix} 1 & y & -x \\ r & \end{pmatrix} \cdot \begin{pmatrix} d\epsilon_n \\ d\chi_x \\ d\chi_y \\ d\varphi \end{pmatrix} \quad (4)$$

ただし

$$r = \sqrt{x^2 + y^2}$$

一方軸力の変化 dN , 曲げモーメントの変化 dM_x , dM_y , ねじりモーメントの変化 dT はそれぞれ、応力増分 $d\sigma$, $d\gamma$ と次の如き関係にある。

$$\begin{bmatrix} dN \\ dM_x \\ dM_y \\ dT \end{bmatrix} = \begin{bmatrix} \int d\sigma \cdot z \cdot i \\ \int d\sigma \cdot y \cdot dA \\ - \int d\sigma \cdot (-x) \cdot dA \\ \int d\sigma \cdot r \cdot dA \end{bmatrix} \quad \text{--- --- --- --- (5)}$$

(5) 式の積分は全断面について行なうものとする。 (3), (4), (5) 式により

$$\begin{Bmatrix} dN \\ dM_x \\ dM_y \\ dT \end{Bmatrix} = \begin{Bmatrix} EA & & & \\ & EI_y & & \\ & & EI_x & \\ & & & GJ \end{Bmatrix} \begin{Bmatrix} d\epsilon_n \\ d\chi_x \\ d\chi_y \\ d\psi \end{Bmatrix} - \begin{Bmatrix} \frac{2}{3}E \int \sigma \cdot d\lambda \cdot dA \\ \frac{2}{3}E \int y \cdot \sigma \cdot d\lambda \cdot dA \\ \frac{2}{3}E \int x \cdot \sigma \cdot d\lambda \cdot dA \\ 2G \int r \cdot z \cdot d\lambda \cdot dA \end{Bmatrix} \quad (6)$$

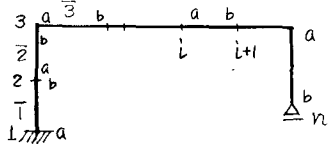
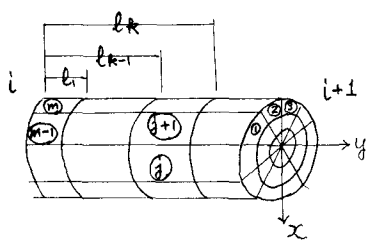


Fig - 2

$$\left[\begin{array}{l} \frac{2}{3} E \int r dr dA \\ \frac{2}{3} E \int y dr dA \\ \frac{2}{3} E \int x dr dA \\ 2G \int r^2 dr dA \end{array} \right] = \left[\begin{array}{l} R_n^{(1)} R_n^{(2)} \dots R_n^{(m)} \\ R_x^{(1)} R_x^{(2)} \dots R_x^{(m)} \\ R_y^{(1)} R_y^{(2)} \dots R_y^{(m)} \\ R_t^{(1)} R_t^{(2)} \dots R_t^{(m)} \end{array} \right] \left[\begin{array}{l} dr \\ d\lambda^2 \\ \vdots \\ d\lambda^m \end{array} \right] \quad (7)$$

ここで $R_n^{\text{①}}$, $R_z^{\text{①}}$, $R_y^{\text{①}}$, $R_t^{\text{①}}$ はそれぞれ、 Δ 細分区間にについて、

$$\begin{aligned} R_n^{\text{①}} &= -\frac{2E}{3}\bar{\sigma}_{\text{②}} \int dA_{\text{②}} \\ R_y^{\text{①}} &= -\frac{2E}{3}\bar{\sigma}_{\text{②}} \int x \cdot dA_{\text{②}} \end{aligned} \quad \begin{aligned} R_z^{\text{①}} &= -\frac{2E}{3}\bar{\sigma}_{\text{②}} \int y \cdot dA_{\text{②}} \\ R_t^{\text{①}} &= -2G\bar{\sigma}_{\text{②}} \int r dA_{\text{②}} \end{aligned} \quad \cdots \cdots \cdots (8)$$

で与えられるものである。積分は各細分割区間の断面について行うものとする。

これを用いると、(6) 式は

$$\begin{bmatrix} dN \\ dM_x \\ dM_y \\ dT \end{bmatrix} = \begin{bmatrix} EA & | & d\sigma_n \\ EI_y & | & d\chi_x \\ EI_x & | & d\chi_y \\ GJ & | & d\varphi \end{bmatrix} \begin{bmatrix} d\sigma_n \\ d\chi_x \\ d\chi_y \\ d\varphi \end{bmatrix} + \begin{bmatrix} R_n \\ R_z \\ R_y \\ R_t \end{bmatrix} [d\alpha] \quad \cdots \cdots \cdots (9)$$

の如く与えられる。

一方、(3) 式の第 3 式を、細く細分割した要素内で立てると、同様な関係を得ることが出来るから、これを(9)式とまとめて表わすと、次の如くになる。

$$\begin{bmatrix} dN \\ dM_x \\ dM_y \\ dT \\ 0 \end{bmatrix} = \begin{bmatrix} EA & | & R_n \\ EI_y & | & R_z \\ EI_x & | & R_y \\ GJ & | & R_t \\ \hline R_n^T & R_z^T & R_y^T & R_t^T & A \end{bmatrix} \begin{bmatrix} d\sigma_n \\ d\chi_x \\ d\chi_y \\ d\varphi \\ d\alpha \end{bmatrix} \quad \cdots \cdots \cdots (10)$$

これを簡単化

$$\begin{bmatrix} dN \\ 0 \end{bmatrix} = \begin{bmatrix} R_n & | & R_z \\ R_z^T & | & A \end{bmatrix} \begin{bmatrix} d\sigma_n \\ d\alpha \end{bmatrix} \quad \cdots \cdots \cdots (11)$$

とあらわしておく。 T は転置記号をあらわす。

軸歪 $d\sigma_n$, 曲率の変化 $d\chi_x$, $d\chi_y$, ねじり角の変化 $d\varphi$ はそれぞれ変形の変化 du , dv , $d\omega$, $d\theta$ により、

$$d\sigma_n = \frac{\partial du}{\partial z}, \quad d\chi_x = \frac{\partial^2 dv}{\partial z^2}, \quad d\chi_y = \frac{\partial^2 dw}{\partial z^2} \quad \cdots \cdots \cdots (12)$$

で与えられる。各分割区間 $i, i+1$ 間 (Fig-2 参照) において、軸力、ねじりモーメントは一定、曲げモーメントが、 a 端から b 端まで直線的に変化するものとした時の弾性解は次の如くであるが、近似的に変形はこれと同じ式で与えられるものと考える。

$$dw = \xi_1 \cdot d\omega_a + \xi_2 \cdot d\omega_b + \{ \xi_3(dv_a - dv_b) + \xi_4 d\theta_{xa} + \xi_5 d\theta_{xb} \} \cdot y \\ - \{ \xi_3(d\omega_a - d\omega_b) + \xi_4 d\theta_{ya} + \xi_5 d\theta_{yb} \} \cdot x \quad \dots \dots \dots (13)$$

$$dv = \xi_6 \cdot dv_a + \xi_7 \cdot dv_b + \xi_8 d\theta_{xa} + \xi_9 d\theta_{xb} + (\xi_1 d\theta_a + \xi_2 d\theta_b) \cdot y$$

$$d\omega = -\xi_6 d\omega_a - \xi_7 d\omega_b - \xi_8 d\theta_{ya} - \xi_9 d\theta_{yb} - (\xi_1 d\theta_a + \xi_2 d\theta_b) \cdot x$$

ここで ξ ,

$$\xi_1 = \frac{l-z}{l}, \quad \xi_2 = \frac{z}{l},$$

$$\xi_3 = 6 \frac{z}{l} - 6 \frac{z^2}{l^2}, \quad \xi_4 = -1 + 4 \frac{z}{l} - 3 \frac{z^2}{l^2}, \quad \xi_5 = 2 \frac{z}{l} - 3 \frac{z^2}{l^2}$$

$$\xi_6 = 1 - 3 \frac{z^2}{l^2} + 2 \frac{z^3}{l^3}, \quad \xi_7 = 3 \frac{z^2}{l^2} - 2 \frac{z^3}{l^3}, \quad \xi_8 = z - 2 \frac{z^2}{l} + \frac{z^3}{l^2}, \quad \xi_9 = -\frac{z^2}{l} + \frac{z^3}{l^2}$$

これより ,

$$d\omega_a = \frac{1}{l} (d\omega_a - d\omega_b), \quad d\omega_b = \frac{1}{l} (d\omega_a - d\omega_b)$$

$$d\chi_x = \left(\frac{6}{l^2} - \frac{12z}{l^3} \right) (dv_a - dv_b) + \left(\frac{4}{l} - \frac{6z}{l^2} \right) d\theta_{xa} + \left(\frac{2}{l} - \frac{6z}{l^2} \right) d\theta_{xb} \quad \dots \dots \dots (14)$$

$$d\chi_y = -\left(\frac{6}{l^2} - \frac{12z}{l^3} \right) (d\omega_a - d\omega_b) - \left(\frac{4}{l} - \frac{6z}{l^2} \right) d\theta_{ya} - \left(\frac{2}{l} - \frac{6z}{l^2} \right) d\theta_{yb}$$

(14) 式を簡単に次の如くあらわしておく。

$$[d\chi] = [B_a^T \mid B_b^T] \begin{bmatrix} \frac{d\omega_a}{d\omega_b} \\ \frac{d\omega_b}{d\omega_a} \end{bmatrix} \quad \dots \dots \dots (15)$$

(11) 式 , (15) 式より、変分原理を用いることによつて、次の如く材端部材力と材端変位との関係式を得る。

$$\begin{bmatrix} dF_a \\ dF_b \\ 0 \end{bmatrix} = \left[\begin{array}{c|c} [B_a] \cdot [R] & [B_a^T \mid B_b^T] \\ \hline [B_b] & \int [R] \cdot [B_b] dz \\ \hline \int [R^T] \cdot [B_a^T \mid B_b^T] dz & \int [A] dz \end{array} \right] \begin{bmatrix} \frac{d\omega_a}{d\omega_b} \\ \frac{d\omega_b}{d\omega_a} \end{bmatrix} \quad \dots \dots \dots (16)$$

(16) 式は、より簡単に

$$\begin{bmatrix} dF \\ 0 \end{bmatrix} = \left[\begin{array}{c|c} [K] & [Q] \\ \hline [Q^T] & [A] \end{array} \right] \begin{bmatrix} d\omega \\ d\theta \end{bmatrix} \quad \dots \dots \dots (17)$$

であるからこれより $[d\lambda]$ を消去すれば

$$[dF] = ([K] - [Q] \cdot [A^{-1}] \cdot [Q^T]) \cdot [dv] \quad \dots \dots \dots (18)$$

と与えられる。ここで $[K]$ は、通常用いられている Stiffness Matrix

であり、塑性領域では (18) 式の如く、これを補正する項が加わつて来る。 (18) 式を用いて通常の変形法とまつたく同様に変形・応力を求めることが出来る。

行列 $[Q]$ の内容は、次の通りである。

$$[Q] = \begin{pmatrix} Q_a \\ Q_b \end{pmatrix}, \quad [Q_a] = \begin{pmatrix} [R_n \cdot a] \\ -[R_x \cdot b] \\ [R_x \cdot d] \\ [R_y \cdot b] \\ -[R_y \cdot d] \\ [R_t \cdot a] \end{pmatrix}, \quad [Q_b] = \begin{pmatrix} -[R_n \cdot a] \\ -[R_x \cdot c] \\ -[R_x \cdot d] \\ [R_y \cdot c] \\ [R_y \cdot d] \\ -[R_t \cdot a] \end{pmatrix}$$

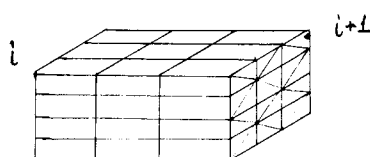
$$a = \frac{l_k - l_{k-1}}{\ell} \quad C = \frac{2(l_k - l_{k-1})}{\ell} - \frac{3(l_k^2 - l_{k-1}^2)}{\ell^2}$$

$$b = \frac{4(l_k - l_{k-1})}{\ell} - \frac{3(l_k^2 - l_{k-1}^2)}{\ell^2} \quad d = \frac{6(l_k - l_{k-1})}{\ell^2} - \frac{6(l_k^2 - l_{k-1}^2)}{\ell^3}$$

4. 剛性行列の誘導（円形断面以外の中実断面の場合）

円形断面以外の中実断面の場合には、ねじり変形が、ゆがみを伴うため、応力と歪の関係に（3）式を用いるのは不都合であり、（2）式を用いる必要がある。いま、ゆがみ変形に伴う直歪 ϵ_{zx} の影響は、きわめて小さいとし、これを無視することにすれば、3. 項で誘導した剛性行列のうち、ねじり変形に関する部分のみを次の如く変更すればよい。

Fig-3



この場合には、Fig-3 に示すごとく、各部材を多数の三角柱に分割することにし、（13）式の ω の最後に、細分割要素のゆがみを w_i, w_j, w_k として

$$\frac{A_i}{A} dw_i + \frac{A_j}{A} dw_j + \frac{A_k}{A} dw_k$$

をつけ加えねばならない。ここに、 A は、細分割した三角形要素の面積をあらわし、 A_i, A_j, A_k はそれぞれ、頂点 i, j, k に對する面積座標をあらわす。これを用いることにより、せん断歪 $d\gamma_{zx}, d\gamma_{zy}$ はそれぞれ、次の如くになる。

$$\begin{pmatrix} d\gamma_{zx} \\ d\gamma_{zy} \end{pmatrix} = \begin{pmatrix} -x & \frac{b_i'}{24} & \frac{b_j'}{24} & \frac{bm}{24} \\ y & \frac{c_i'}{24} & \frac{c_j'}{24} & \frac{cm}{24} \end{pmatrix} \begin{pmatrix} d\varphi \\ dw_i \\ dw_j \\ dw_k \end{pmatrix} \quad \dots \dots \dots \quad (19)$$

ここで

$$\Delta = \{x_i(y_j' - y_m) + x_j(y_m - y_i') + x_m(y_i' - y_j')\}/2$$

$$b_i' = y_j' - y_m \quad b_j' = y_m - y_i' \quad bm = y_i' - y_j'$$

$$c_i' = x_m - x_j' \quad c_j' = x_i' - x_m \quad cm = x_j' - x_i'$$

(2) 式、(5) 式、(19) 式を用いることにより、ねじりモーメントの変化 dT は、3. 項と同様にして、

$$\begin{bmatrix} dT \\ 0 \end{bmatrix} = \begin{bmatrix} G(I_x + I_y) & [G_R] \\ [G_R]^T & [G_\theta] \end{bmatrix} \begin{bmatrix} d\varphi \\ d\omega \end{bmatrix} - \begin{bmatrix} G_\theta \\ G_\omega \end{bmatrix} (d\lambda)$$

$$[G_R] = \left[G(-y b_i + x c_i)/2 \quad G(-y b_j + x c_j)/2 \quad G(-y b_m + x c_m)/2 \right], \quad f_2 = 2G\Delta(-y Z_{zx} + x Z_{zy})$$

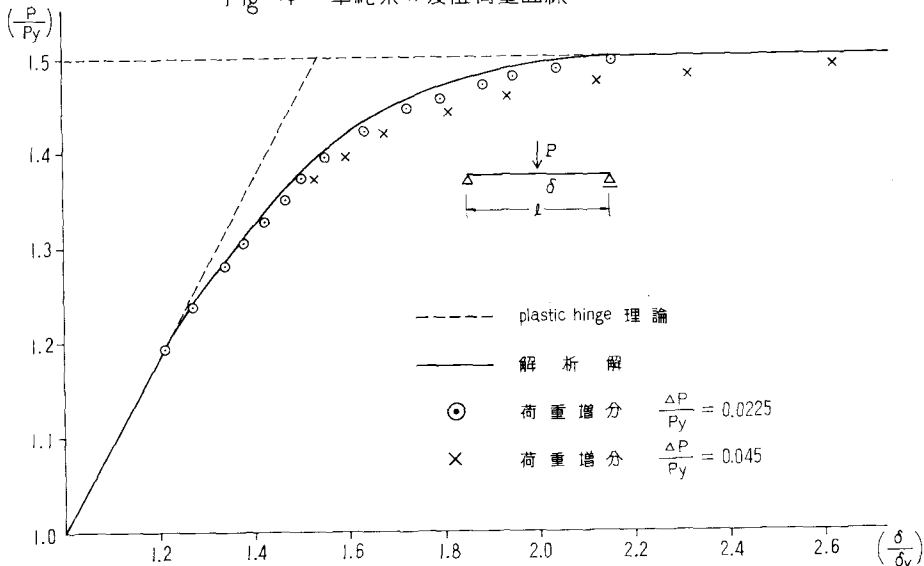
$$[G_R] = \frac{G}{4\Delta} \begin{pmatrix} (b_i^2 + c_i^2) & (b_i b_j + c_i c_j) & (b_i b_m + c_i c_m) \\ (b_j^2 + c_j^2) & (b_j b_m + c_j c_m) & \\ \text{SYM.} & (b_m^2 + c_m^2) \end{pmatrix}, \quad [G_\omega] = G \begin{pmatrix} (b_i Z_{zx} + c_i Z_{zy}) \\ (b_j Z_{zx} + c_j Z_{zy}) \\ (b_m Z_{zx} + c_m Z_{zy}) \end{pmatrix}$$

$$dT = (G(I_x + I_y) - [G_R][G_R^T][G_R])(d\varphi) - (G_\theta - [G_R][G_R^T][G_\omega])(d\lambda)$$

であるから、これを(10)式とおき変えればよい。

5. 数値計算例

Fig-4 単純梁の変位荷重曲線



塑性領域の形成

— 解析解

■ 数値解

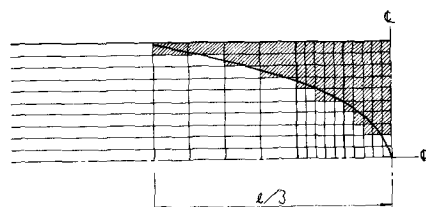
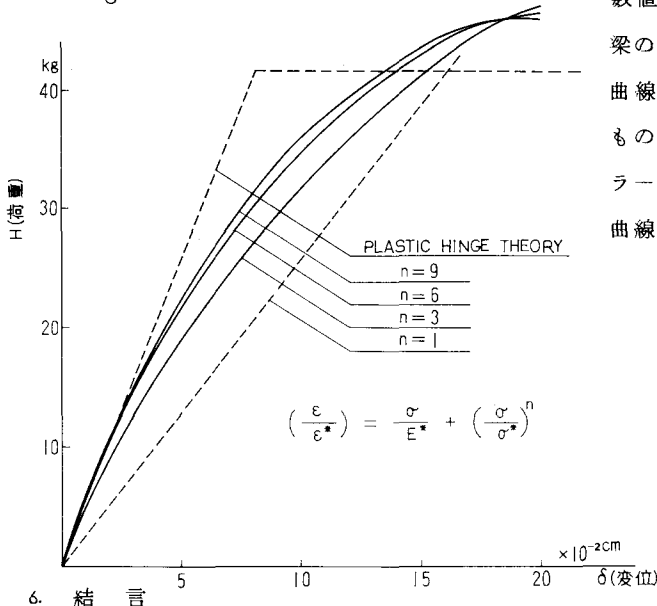
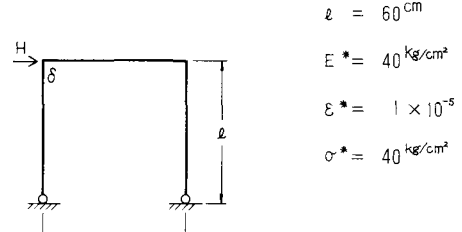


Fig-5 ラーメンの水平力による変形



6. 結 言

数値計算例として、完全弾塑性体よりなる単純梁の中央に集中荷重が作用した場合の荷重変位曲線及び塑性域の発達状況を解釈解と比較したもの及び、非線型な歪応力曲線を持つ2ヒンジラーメンに水平荷重が作用した場合の荷重変位曲線を挙げる。



塑性流れ理論による骨組構造の解釈法について述べた。有限要素法の手法を用いており、分割区間内で、より細く細分割し、その細分割区間内で応力が一定であると考えることにより、解式が組み立てられている。当然、荷重を少しづつ増加させ、その間には、応力の変動がないと仮定して解を求める荷重増加法により計算を進める方法をとる。このため比例載荷の場合のみでなく、除荷、あるいは、変動荷重に対しても用いることが出来る。又、細分割区間は、かなり細くとする必要があるが、この間での変形は、消去されているので、最終的な連立方程式の数を増すことなく、塑性領域の発達を計算することが出来る。

一方、荷重増加法による場合、常に問題になることがあるが、荷重増分の大きさによって、異つた解を得ることがあるので、荷重増分のとり方には、充分の注意が必要である。ここでは、微小変形によつたが、有限変形の導入は比較的簡単に行うことが出来る。

7. 参考文献

- 1) 服部正・コンピューターによる構造数値解釈法、建築構造学大系、彰国社。
- 2) 上田幸雄・他3名：“マトリックス法による骨組構造の弾塑性解釈” 日本鋼構造協会・マトリックス構造解釈講演論文集昭和44年5月
- 3) Y. Yamada and Others: "Plastic Stress-Strain matrix and its application for the Solution of Elastic plastic problems by the Finite Element Method" INT. J. Mech Sci. 10 (1968)
- 4) C. Zienkiewicz and others: "Elasto-plastic Solutions of Engineering problems" INT. J. num. Meth. in Engng Vol. No.1. (1969)
- 5) G. G. Pope: "The Application of the Matrix Displacement Method in Plane Elasto-Plastic Problems" AFDDL-TR-66-80 Wright Patterson Air Force Base (1966)
- 6) J. F. Besseling "Matrix analysis of creep and plasticity problems" AFDDL-TR-66-8 (1966)
- 7) 山田考一郎 "焼角法形式による骨組の弾塑性解釈とその応用" 日本建築学会論文集80号81号(昭37)
- 8) 山崎徳也・他2名 "補正エネルギー法による直線材構造物の弾塑性解釈" 土木学会論文集 134号(和41)
- 9) 山崎徳也・他2名 "直線材立体ラーメンの弾塑性たわみ曲線算定法" 第22回土木学会年講(昭42)
- 10) P. V. Marcal: "Large deflection Analysis of elastic-plastic shells of revolution," AIAA/ASME 10th Structures Structural Dynamics and Materials Conference (1969)